

A.3 – Modello ALADYM e risultati delle simulazioni

A.3.1 Cenni sulla struttura del modello ALADYM

ALADYM (Age-Length Based Dynamic Model) è un modello di simulazione appartenente alla famiglia dei modelli analitici, organizzato secondo l'approccio degli 'operating models' (Hilborn e Walters, 1992).

La popolazione è strutturata per età-lunghezza ed evolve 'in avanti' in modo dinamico e predittivo, secondo lo schema concettuale di Thompson & Bell (1934).

ALADYM è stato sviluppato nell'ambito del progetto europeo FISBOAT (Fisheries Independent Survey Based Operational Assessment Tools), alle pagine web del quale si rimanda per i dettagli relativi alla descrizione metodologica ed operativa (<http://www.ifremer.fr/drvecohal/fisboat/>).

In sintesi, il modello, che utilizza le equazioni classiche della dinamica di popolazione, è stato progettato ed implementato per prevedere, mediante un processo di simulazione, le conseguenze dovute a cambiamenti dei fattori di pressione (e.g. mortalità) gestione (e.g. cambiamenti di maglia, fermo temporaneo) o delle caratteristiche biologiche (e.g. reclutamento) su una popolazione monospecifica.

ALADYM tiene conto delle differenze fra i sessi in termini di crescita e mortalità e simula la dinamica di una determinata popolazione a livello di micro-coorte, con scala temporale di 1 mese, secondo il classico modello di declino esponenziale, in assenza (1) ed in presenza (2) della mortalità da pesca:

$$\frac{dN}{dt} = -MN \quad (1)$$

$$\frac{dN}{dt} = -ZN \quad (2)$$

usate rispettivamente nelle forme (3) e (4):

$$N_{(t+\Delta t),j} = N_{t,j} e^{-M_{t,j} * \Delta t} \quad (3)$$

$$N_{(t+\Delta t),j} = N_{t,j} e^{-(F_{t,j} + M_{t,j}) * \Delta t} \quad (4)$$

dove j indica la coorte, t il tempo, Z , M ed F i tassi di mortalità totale, naturale e da pesca.

Gli individui morti per le diverse cause sono simulate sulla base del tasso di mortalità totale, modulato usando le informazioni relative al pattern di selettività e di attività/intensità di pesca.

Il vettore di rendimento (Y) è ottenuto dall'equazione di cattura (Sparre and Venema, 1998):

$$Y_{t,j} = \frac{F_{t,j}}{Z_{t,j}} \cdot N_{t,j} \cdot (1 - e^{-(F_{t,j} + M_{t,j}) \cdot \Delta t}) \cdot W_{age}$$

Il modello può lavorare sia secondo un approccio deterministico, che stocastico. Nel secondo caso mediante l'applicazione di tecniche statistiche di tipo MonteCarlo.

In sintesi gli input del modello sono:

- parametri di crescita di von Bertalanffy per sesso con associata variabilità;
- relazione lunghezza-peso per sesso;
- parametric dell'ogiva di maturità per le femmine (L_{m50%} e L_{m25%-Lm75%} range);
- mortalità naturale per sesso (un valore costante o un vettore). In alternativa la mortalità naturale è stimata variabile per età, nel modello, secondo il metodo di Chen and Watanabe (1989);
- una stima del numero di nuovi nati che entrano nella popolazione durante l'anno (minimo, massimo, ln della media ed ln della deviazione standard);
- pattern di deposizione con una ripartizione mensile;
- relazione stock-recruitment o un vettore di nuovi nati per mese con indicazione del livello di variabilità associata;
- mortalità totale Z o un valore proxy di Z per sesso;
- pattern di selettività degli attrezzi usati dalla flotta (L50% e range L25%-L75%, D50% in caso di de-selezione);
- un coefficiente di attività/intensità di pesca mensile.

I risultati consistono nella produzione di un insieme di indicatori relativi a:

- abbondanza (e.g. biomassa totale e biomassa dei riproduttori);
- struttura della popolazione (e.g. lunghezza ed età media della popolazione e dei riproduttori);
- produzione (e.g. rendimento e produzione biologica);
- sostenibilità (rapporto fra la biomassa dei riproduttori in condizioni di sfruttamento e la biomassa che si avrebbe se agisse solo la mortalità naturale: ESSB/USSB).

e gli effetti delle diverse misure di gestione possono essere quindi analizzati in termini di sostenibilità della popolazione nel lungo periodo.

Bibliografia

Chen S., Watanabe S. 1989. Age Dependence of Natural Mortality Coefficient in Fish Population Dynamics. *Nippon Suisan Gakkaishi*, 55(2): 205-208.

Hilborn, R. and Walters, C.J. (1992). *Quantitative fisheries stock assessment: Choice,*

dynamics and uncertainty. Chapman and Hall, New York.

Sparre P., Venema S.C. (1998) - Introduction to tropical fish stock assessment. Part 1, manual. *FAO Fish. Techn. Pap.*, 306 (1) Rev. 2: 407 pp.

Thompson, W.F. and Bell, F.H. (1934). Biological statistics of the Pacific halibut fishery. 2. Effect of changes in intensity upon total yield and yield per unit of gear. *Rep. Int. Fish. (Pacific Halibut) Comm.* **8**: 49 p.

A.4.2 Parametrizzazione del modello ALADYM nella GSA 18

Gli scenari

Allo scopo di valutare, sia in termini biologici che economici, gli effetti di diverse misure di gestione applicate in modo del tutto alternativo o interamente complementare, sono stati simulati 5 scenari come di seguito riportato.

- ‘*Status quo*’, in cui a partire dal 1994 è stata simulata la dinamica di popolazione non introducendo alcuna misura e proiettando la popolazione nel futuro per un numero di anni variabile a seconda delle specie esaminate.
- *Ritiro definitivo*, in cui è stata ridotta la pressione di pesca, applicando una percentuale di ritiro del 23% dello strascico e del 10% di ‘altri sistemi’, pesata in funzione del contributo di ciascuno dei raggruppamenti (‘strascico’ e ‘altri sistemi’) alla cattura della specie esaminata.
- *Sospensione temporanea*, in cui è stato introdotto un fermo di 45 giorni consecutivi, in un periodo compreso fra il mese di Settembre e il mese di Ottobre; è stato inoltre assunto che alla sospensione temporanea seguisse, nei due mesi successivi, una ulteriore riduzione dell’attività di quattro giorni al mese (periodo dopo-fermo).
- *Cambiamento maglia*, è stato introdotto, a partire dal 2010 un aumento della maglia stirata al sacco e la misura è stata implementata considerando una maglia da 50 mm di apertura.
- *Combinazione delle misure o scenario misto*, in cui è stata prevista l’azione complementare e sinergica delle singole misure finora menzionate, applicate contemporaneamente.

Parametri biologici e pattern di sfruttamento

Il modello ALADYM è stato parametrizzato utilizzando le informazioni provenienti da diversi progetti e pubblicazioni realizzati nella GSA 17.

Una sintesi degli input è riportata nelle successive tabelle 4.2.1-4.2.3 per le tre specie considerate in quest’analisi (nasello, triglia di fango e scampo).

Bibliografia

Lembo G., Carbonara P., Silecchia T., Spedicato M.T. (2002) – Prove di pesca a strascico con rete a doppio sacco per la valutazione della selettività dell’attrezzo e della qualità del prodotto. I quaderni scientifici della Lega Pesca, Roma: 1-47.

Lembo G. (responsabile). 2005. Messa a punto di un modello bio-economico e analisi delle variabili biologiche. Relazione Finale Programma di ricerca n. 6A30, VI Piano triennale L.N. 41/82. Ministero per le Politiche Agricole e Forestali, Roma: 80 pp.

Leonori I., Spedicato M.T., Lembo G., Pelusi P. 2005. Influenza della dimensione della maglia e della circonferenza del sacco sulla selettività della rete a strascico italiana. *Relazione Finale Programma di ricerca n. 6B03, VI Piano triennale L.N. 41/82. Ministero per le Politiche Agricole e Forestali, Roma: 122 pp.*

SAMED (2002) - Stock Assessment in the Mediterranean. Final Report EU Project n° 99/047.

Tab. A.3.1 - Sintesi degli input relativi al nasello *M. merluccius*. GSA 17

GSA17		<i>M. merluccius</i>	
Descrizione dell’input		femmine	maschi
K (anno)		0.16±0.01	0.18±0.02
L _∞ (mm)		818 ±10	660 ±10
t ₀		-0.6±0.05	-0.6 ±0.05
a		0.00000198	0.00000097
b		3.22	3.35
Ciclo vitale (anni)		20	18
M		Variabile con l’età secondo Chen e Watanabe	
L _{mat} (mm)		300±20	200±20
Range di maturità (L75-L25) (mm)		20	20
Sex ratio (F/F+M)		0.5	
L ₅₀ (mm); SR (mm)		95; 10 fino al 2009 190; 86 dal 2010	
D ₅₀ (mm)		450	
Coefficiente di attività/intensità		Calibrato per mese sul coefficiente specifico di cattura Dal 2008 in poi applicato fra agosto e ottobre	
Pre-reclute (numero iniziale) e parametri della distribuzione <i>ln</i> -normale		183·10 ⁶ (media ln(R)=18.9; ds ln(R)=0.47)	
Periodo di deposizione (picco di deposizione)		Gennaio-Dicembre (Febbraio-Luglio-Agosto)	
Numero di anni della simulazione		30	
proxy di Z (anno)	1994-2006	1.05	

Tab. A.3.2 - Sintesi degli input relativi alla triglia di fango *M. barbatus*. GSA 17

GSA17		<i>M. barbatus</i>	
Descrizione dell'input		femmine	maschi
K (anno)		0.4±0.05	0.43±0.05
L_{∞} (mm)		270 ±10	230 ±10
t_0		-0.8 ±0.05	-0.8 ±0.05
a		0.000012	0.000012
b		3.05	3.05
Ciclo vitale (anni)		7	7
M		Variabile con l'età secondo Chen e Watanabe	
L_{mat} (mm)		120±5	105±10
Range di maturità (L75-L25) (mm)		20	20
Sex ratio (F/F+M)		0.5	
L_{50} (mm); SR (mm)		89; (18) fino al 2009	
		110 (30) dal 2010	
Coefficiente di attività/intensità		Calibrato per mese sul coefficiente specifico di cattura	
		Dal 2008 in poi applicato fra agosto e ottobre	
Pre-reclute (numero iniziale) e parametri della distribuzione <i>ln</i> -normale		415·10 ⁶ (media ln(R)=19.63; ds ln(R)=0.69)	
Periodo di deposizione (picco di deposizione)		Maggio-Settembre (Giugno-Luglio)	
Numero di anni della simulazione		22	
proxy di Z (anno)	1994-2006-	2.23	2.96

Tab. A.3.3 - Sintesi degli input relativi allo scampo *N. norvegicus* GSA 17

GSA 17		<i>N. norvegicus</i>	
Descrizione dell'input		femmine	maschi
K (anno)		0.14±0.01	0.13±0.01
L_{∞} (mm)		70 ±1.0	77±1.0
t_0		-0.6 ±0.1	-0.6 ±0.1
a		0.0005	0.0005
b		3.089	3.079
Ciclo vitale (anni)		20	20
M		0.29	0.26
L_{mat} (mm)		29±1.0	29±1.0
Range di maturità (L75-L25) (mm)		4	4
Sex ratio (F/F+M)		0.5	
L_{50} (mm); SR (mm)		11.1 (0.3) fino al 2009	
		20 (5) dal 2010	
Coefficiente di attività/intensità		Calibrato per mese sul coefficiente specifico di cattura	
		Dal 2008 in poi applicato fra agosto e ottobre	
Pre-reclute (numero iniziale) e parametri della distribuzione <i>ln</i> -normale		343·10 ⁶ (media ln(R)=19.55; ds ln(R)=0.47)	
Periodo di deposizione		Gennaio-Maggio	
Numero di anni della simulazione		22	
proxy di Z (anno)	1994-1999	0.56	0.54
	2000-2007-	0.6	

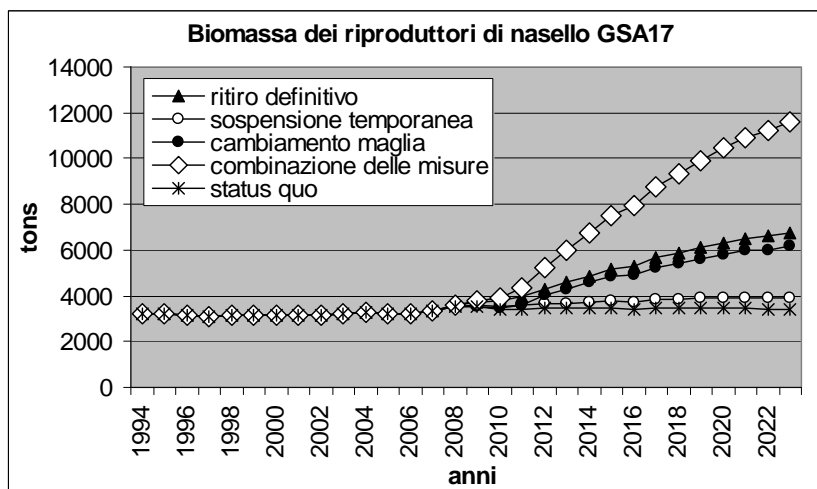
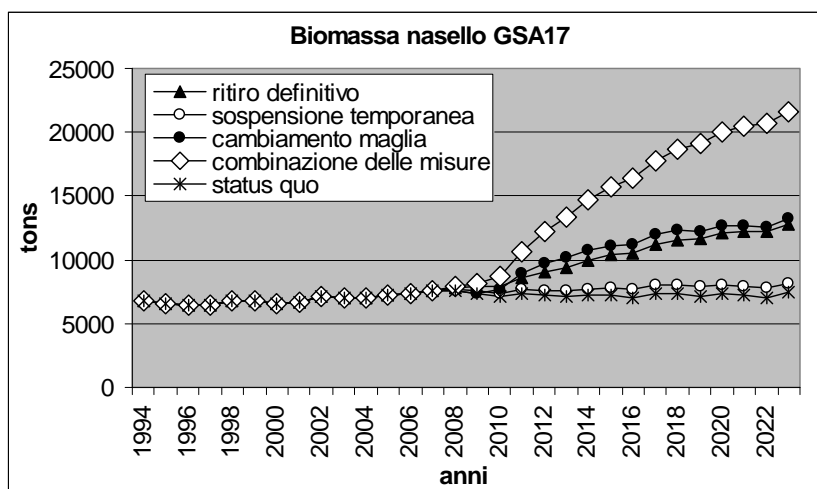
A.3.3 Risultati del modello *ALADYM* nella GSA 17

Nelle successive figure 4.1 – 4.3 sono riportati gli andamenti temporali degli indicatori di abbondanza (biomassa totale, B e biomassa dei riproduttori, SSB), sostenibilità (rapporto fra biomassa sfruttata e non sfruttata dei riproduttori, ESSB/USSB) e produzione (catture) di nasello, triglia di fango e scampo. I risultati sono riferiti alle simulazioni dello *status quo*, a partire dal 1994 fino al 2007, ed alle proiezioni, a 15 anni per il nasello ed a 7 anni per triglia di fango e scampo, con riferimento ai 5 scenari progettati.

Nelle figure 4.4 – 4.5 sono riportate le variazioni percentuali, rispetto alla situazione attuale,

degli indicatori di abbondanza, sostenibilità e produzione per nasello, con una proiezione a 15 anni dei 5 scenari simulati, e per triglia di fango e scampo con una proiezione a 7 anni dei medesimi scenari.

In questo modo il confronto dei risultati fra misure e specie è facilitato, prendendo a riferimento, come tratto comune di partenza, la situazione al 2007.



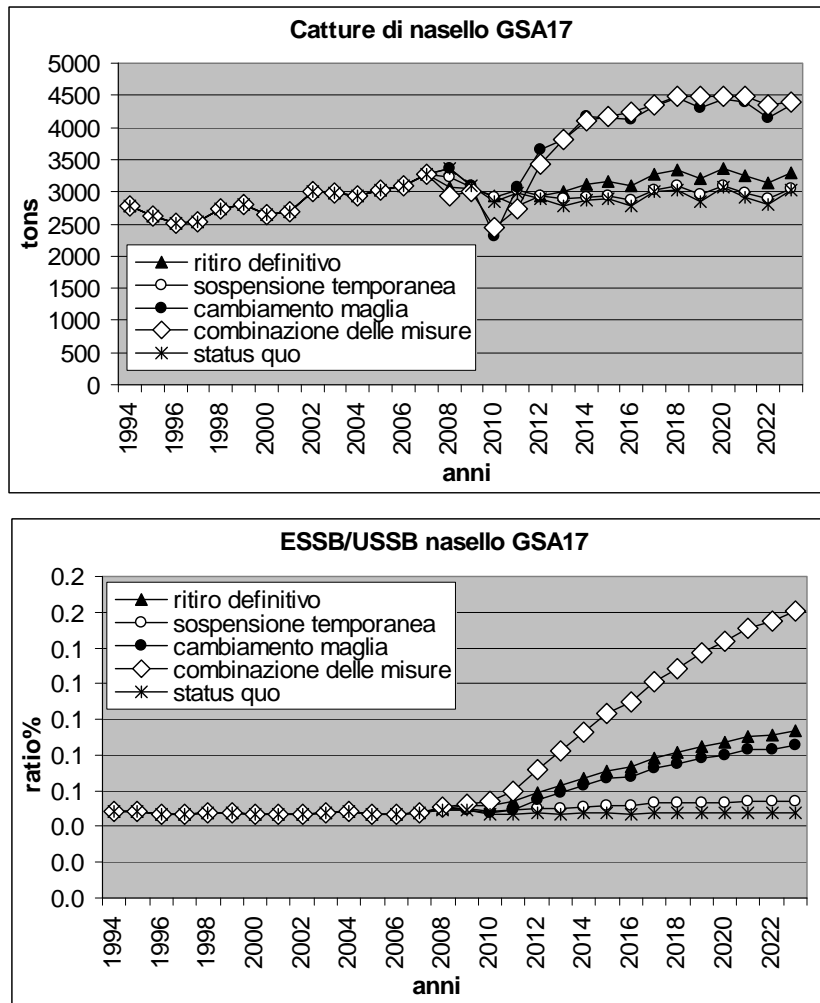
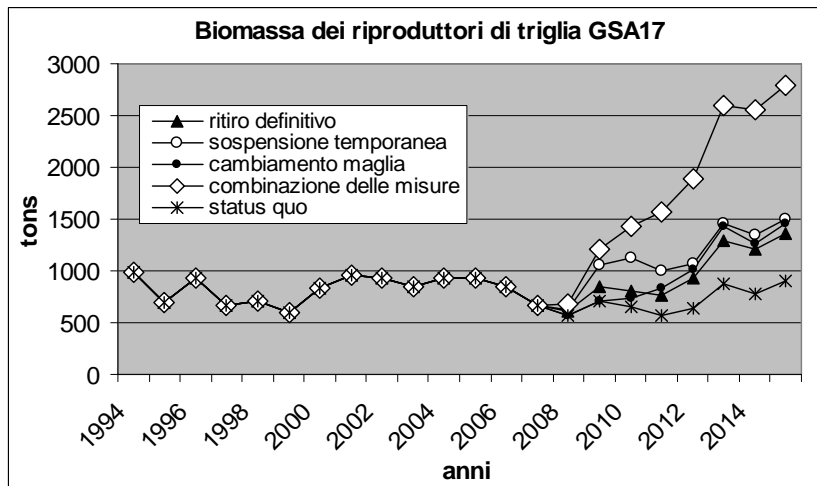
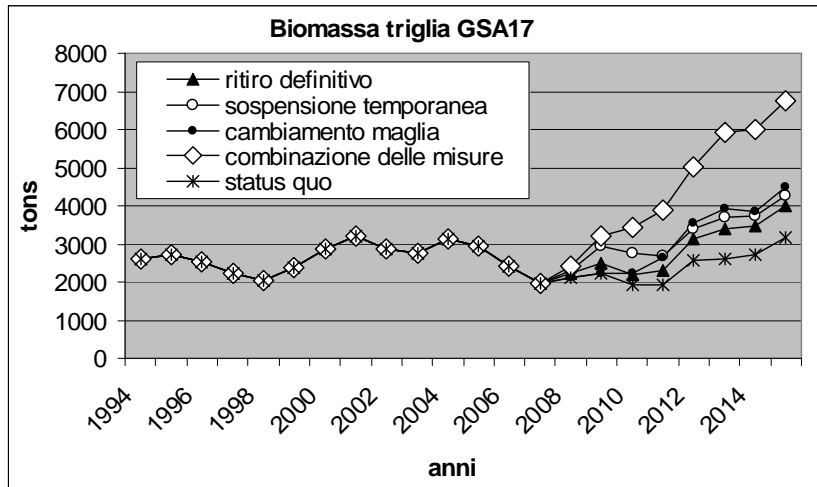


Fig. A.3.1 – Andamento temporale degli indicatori di abbondanza, sostenibilità e produzione di nasello. Simulazione dello *status quo* a partire dal 1994 al 2007 e proiezioni a 15 anni dei 5 scenari simulati.



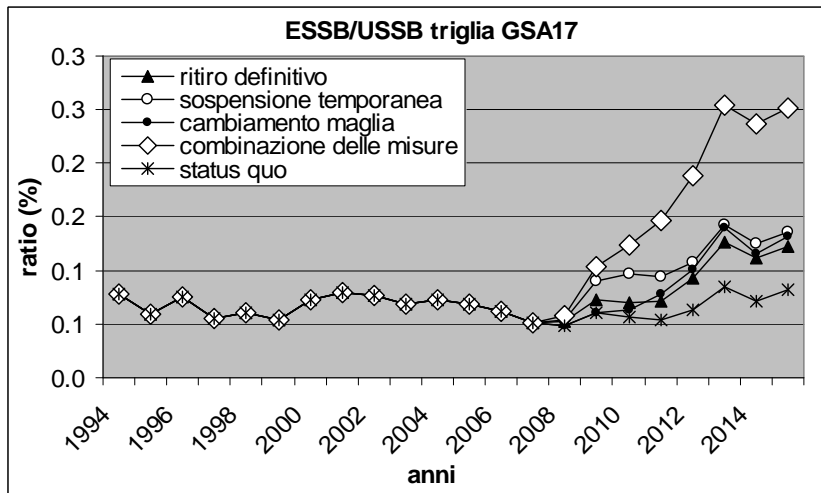
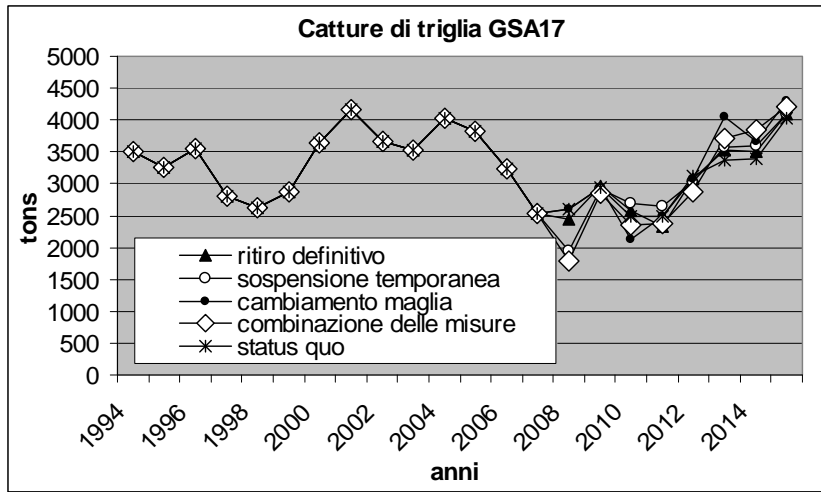
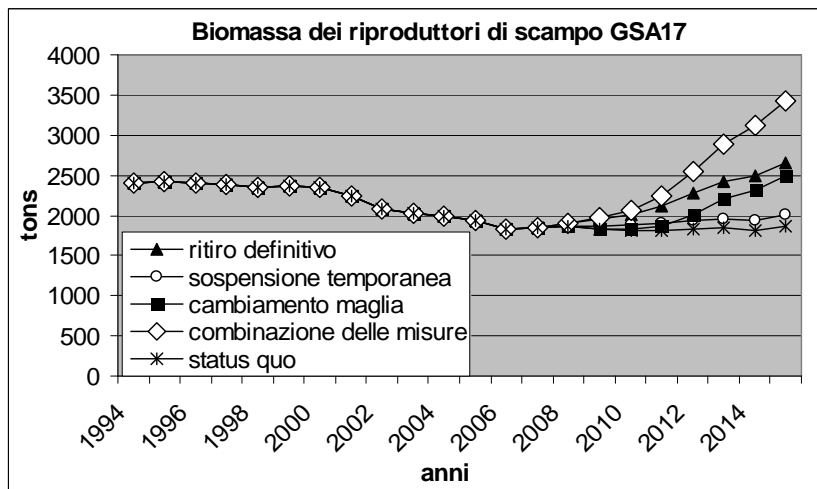
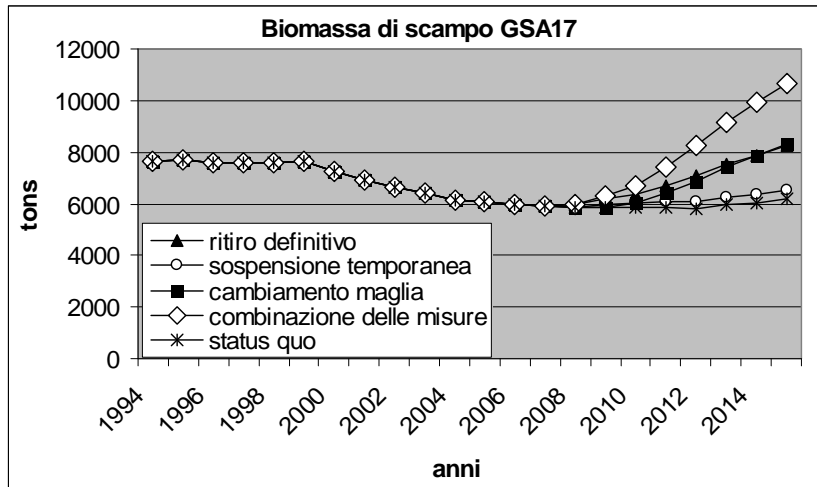


Fig. A.3.2 - Andamento temporale degli indicatori di abbondanza, sostenibilità e produzione di triglia di fango. Simulazione dello *status quo* a partire dal 1994 al 2007 e proiezioni a 7 anni dei 5 scenari simulati.



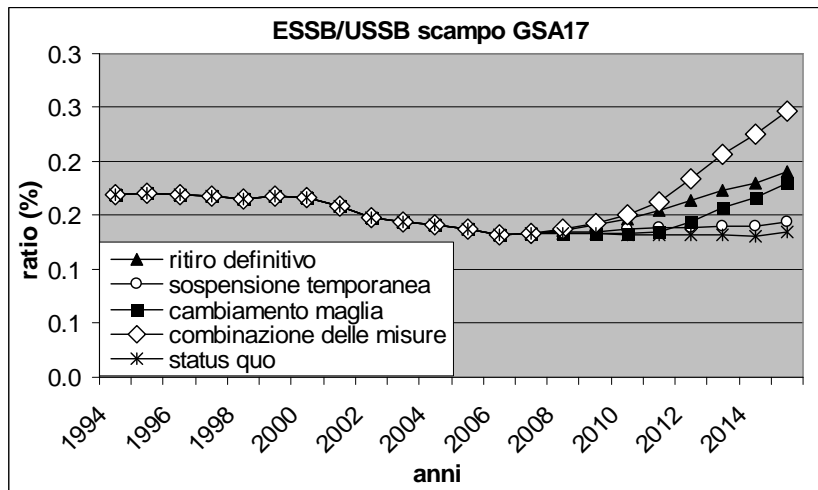
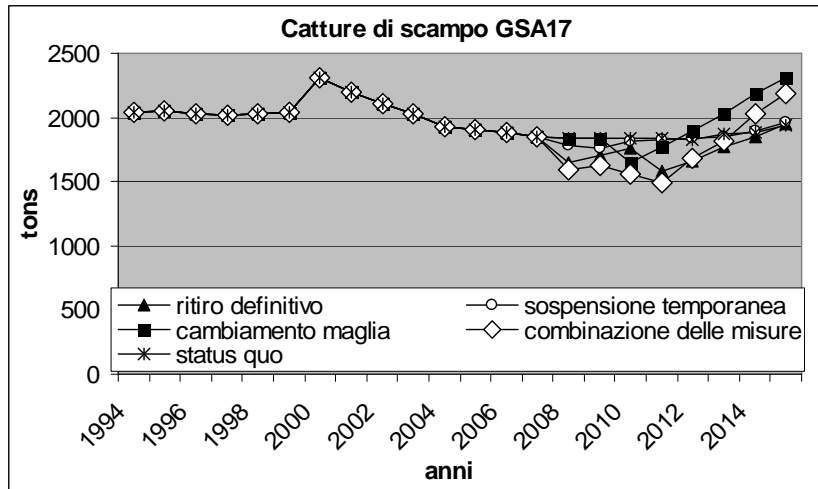
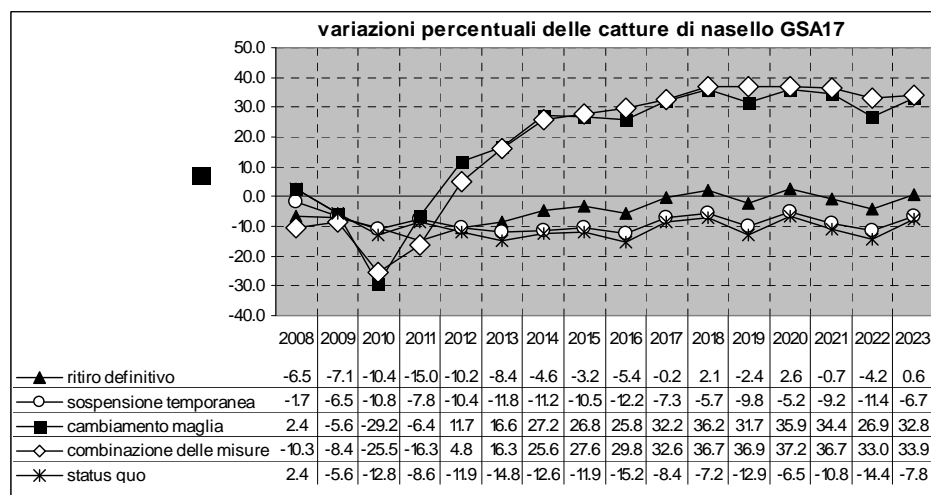
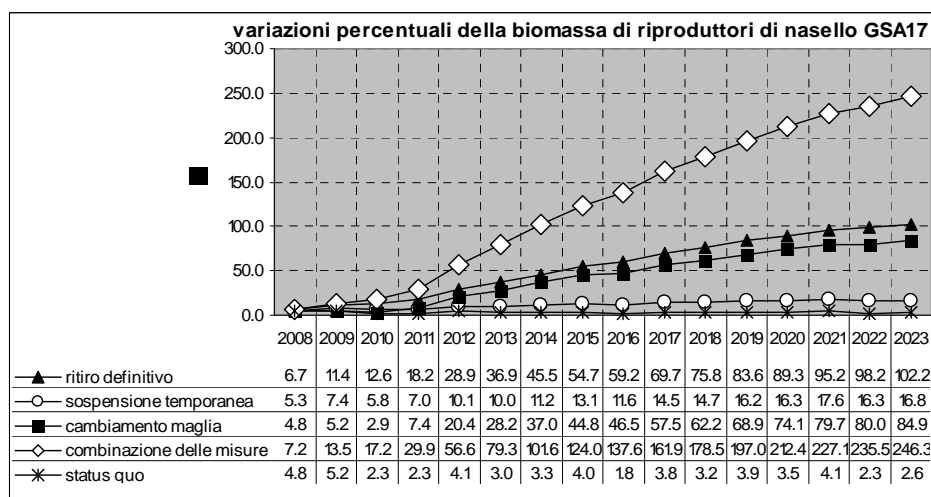
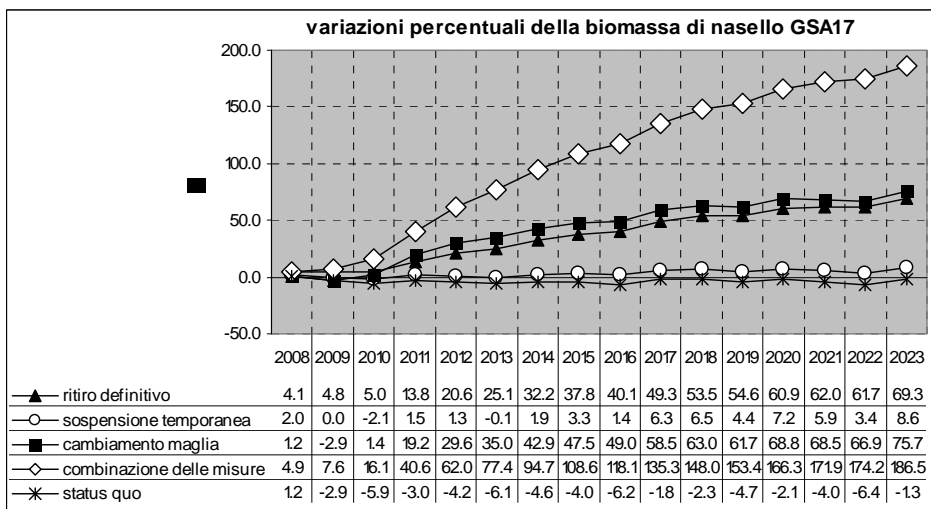


Fig. A.3.3 - Andamento temporale degli indicatori di abbondanza, sostenibilità e produzione di scampo. Simulazione dello *status quo* a partire dal 1994 al 2007 e proiezioni a 7 anni dei 5 scenari simulati.



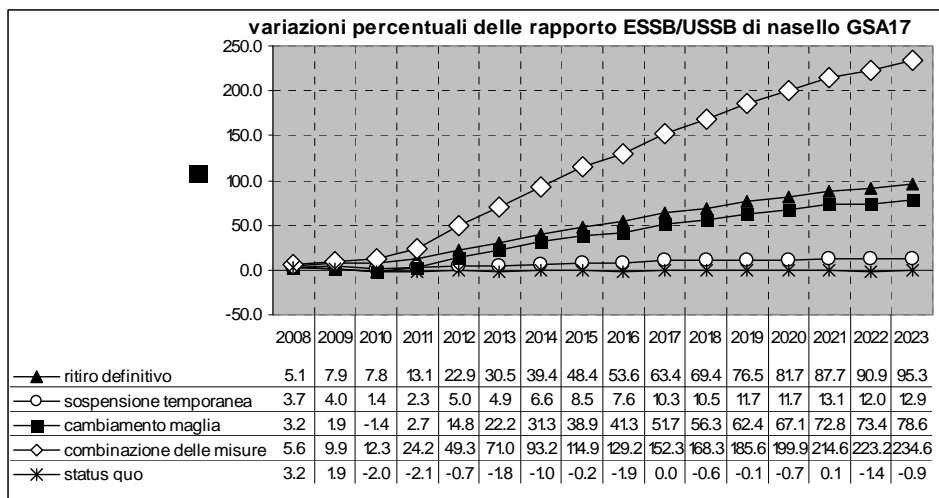
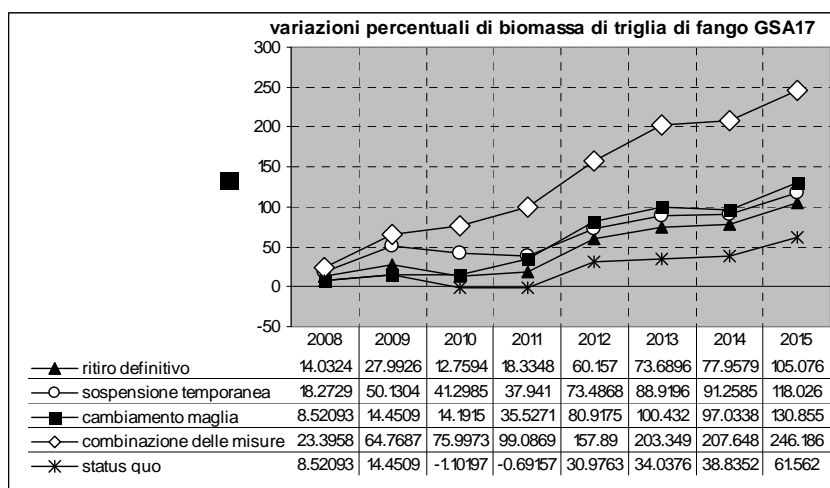


Fig. A.3.4 – Variazioni percentuali, rispetto alla situazione attuale, degli indicatori di abbondanza, sostenibilità e produzione del nasello. Proiezioni a 15 anni dei 5 scenari simulati.



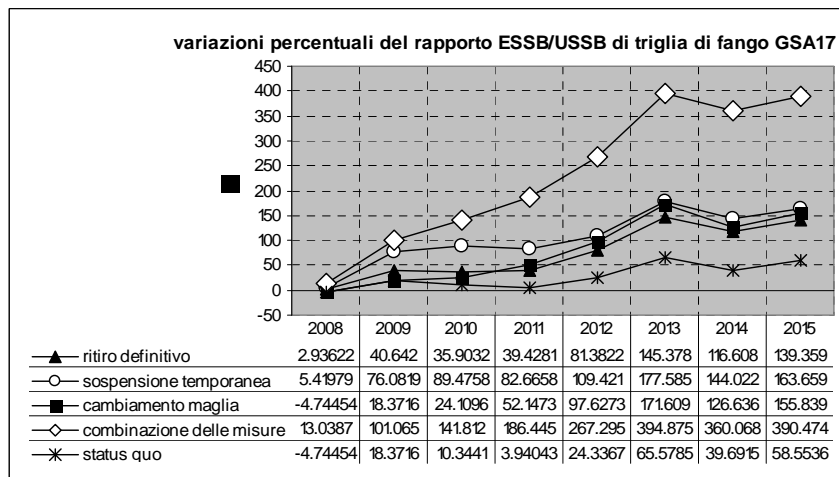
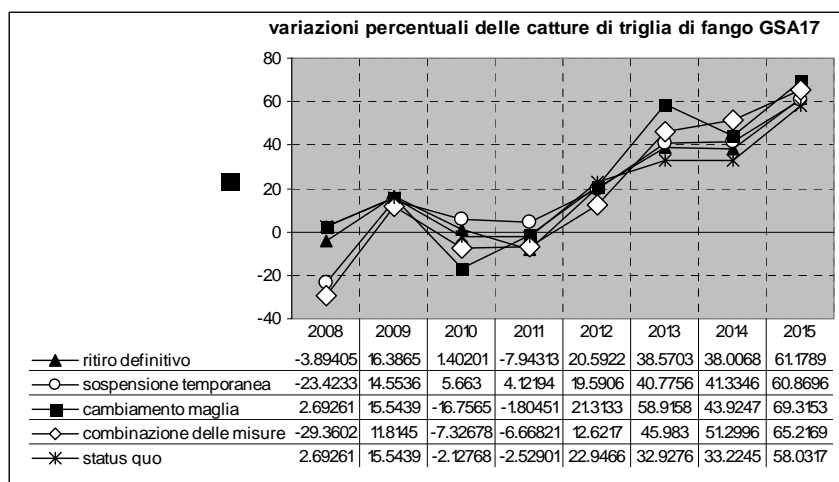
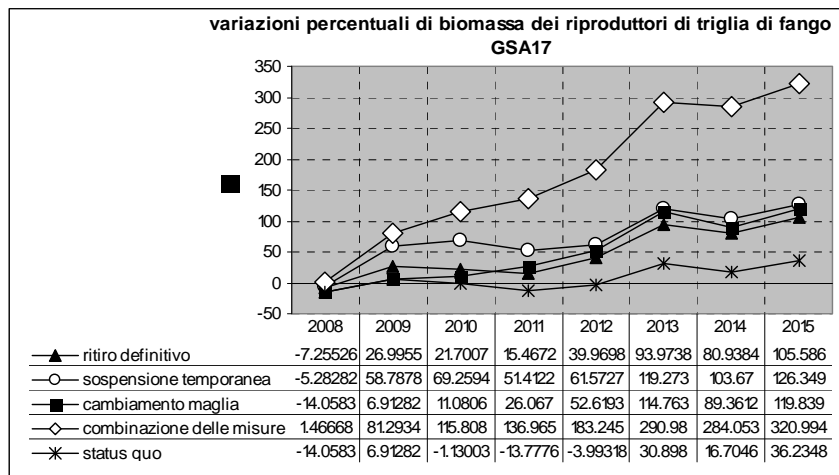
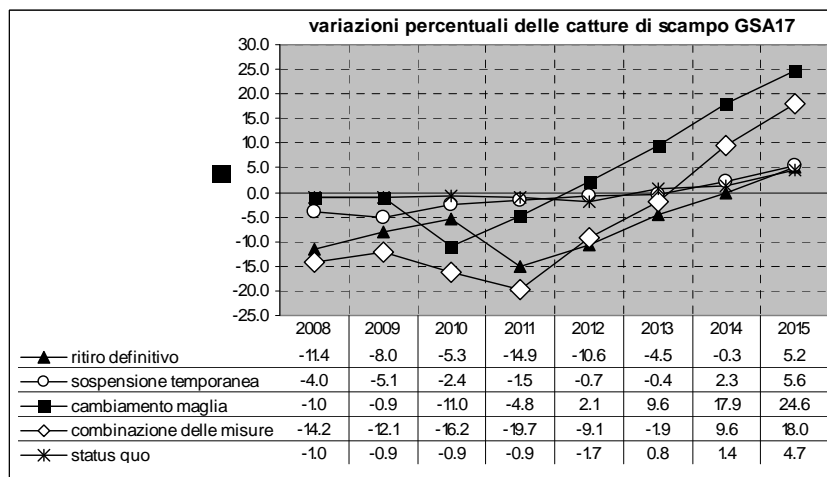
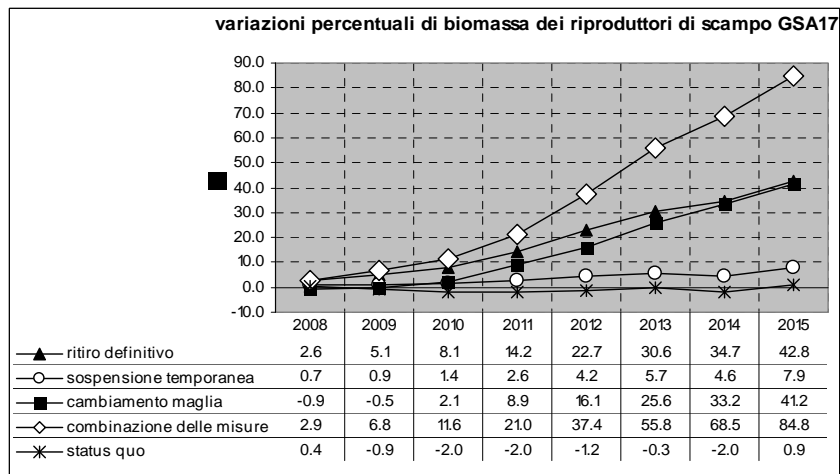
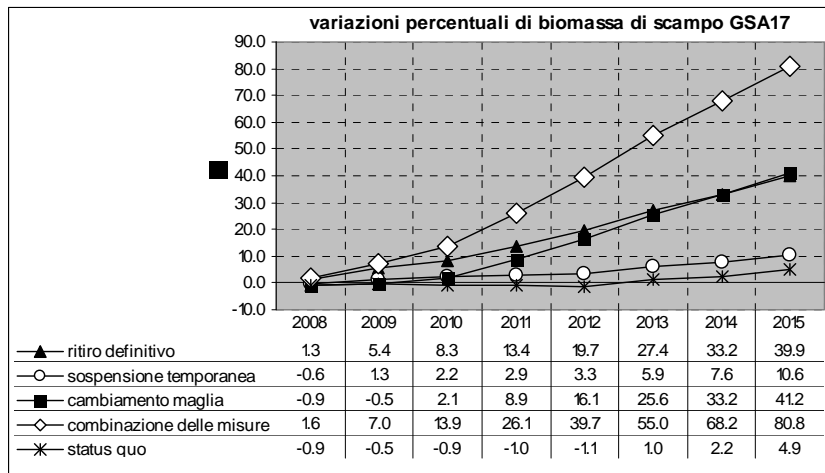


Fig. A.3.5 - Variazioni percentuali, rispetto alla situazione attuale, degli indicatori di abbondanza, sostenibilità e produzione di triglia di fango. Proiezioni a 7 anni dei 5 scenari simulati.



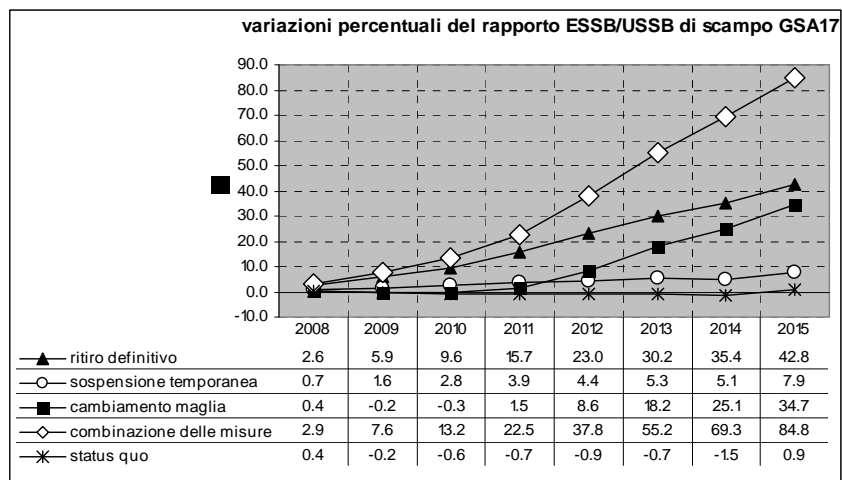


Fig. A.3.6 - Variazioni percentuali, rispetto alla situazione attuale, degli indicatori di abbondanza, sostenibilità e produzione dello scampo. Proiezioni a 7 anni dei 5 scenari simulati.